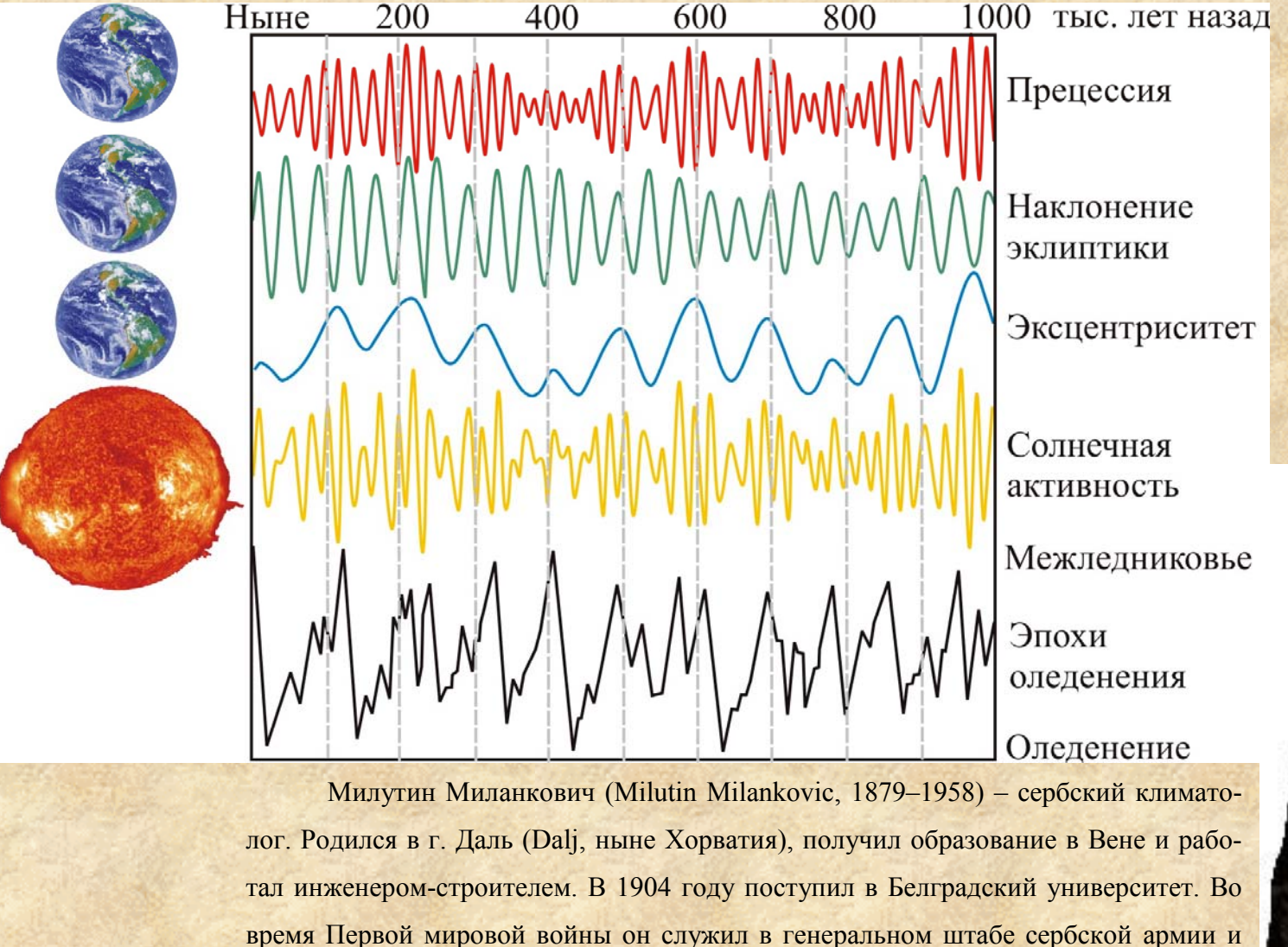
# Тенденции (закономерности) геологических процессов в истории Земли



Тенденции геологических процессов в истории Земли

- 1. Цикличность
- 2. Необратимость

## Астрономо-климатические циклы М.Миланковича



был захвачен в плен австро-венгерскими войсками. Отбывая заключение в Буда-

пеште, имел возможность продолжать свои исследования. Многие годы Миланко-

вич пытался восстановить историю климата Земли (www.elementy.ru).

Многократные циклические перемены климата Земли



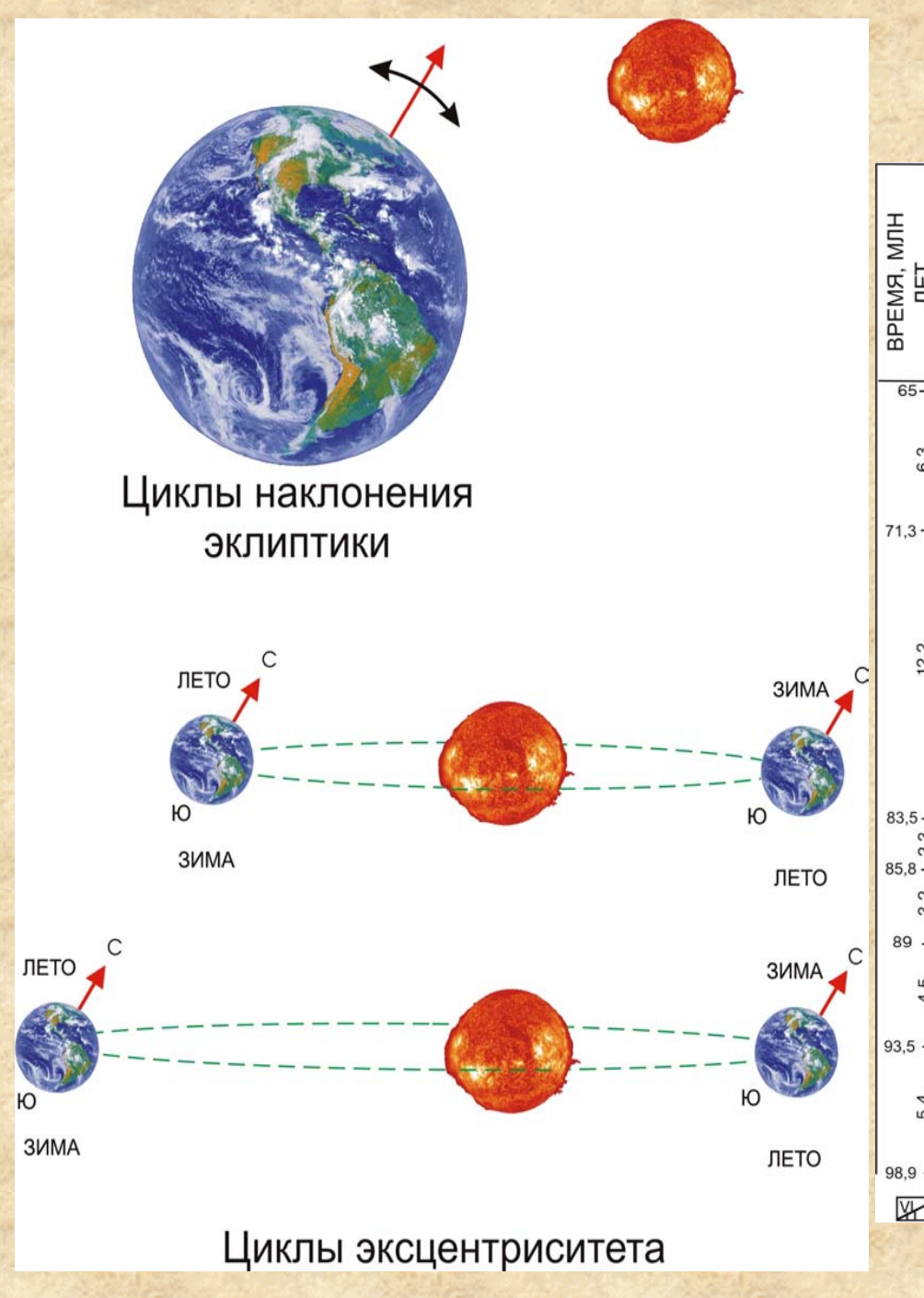


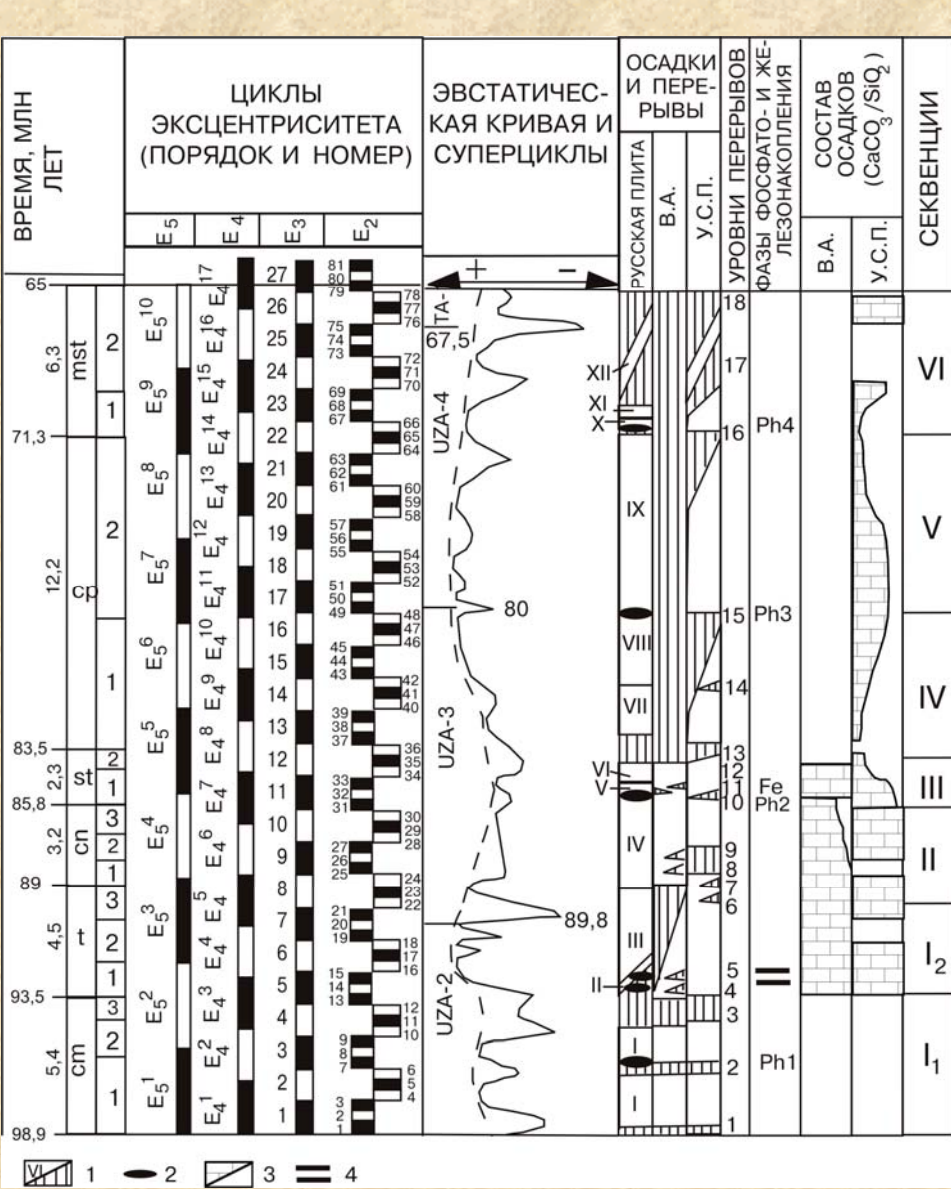
и необратимое замедление скорости ее вращения

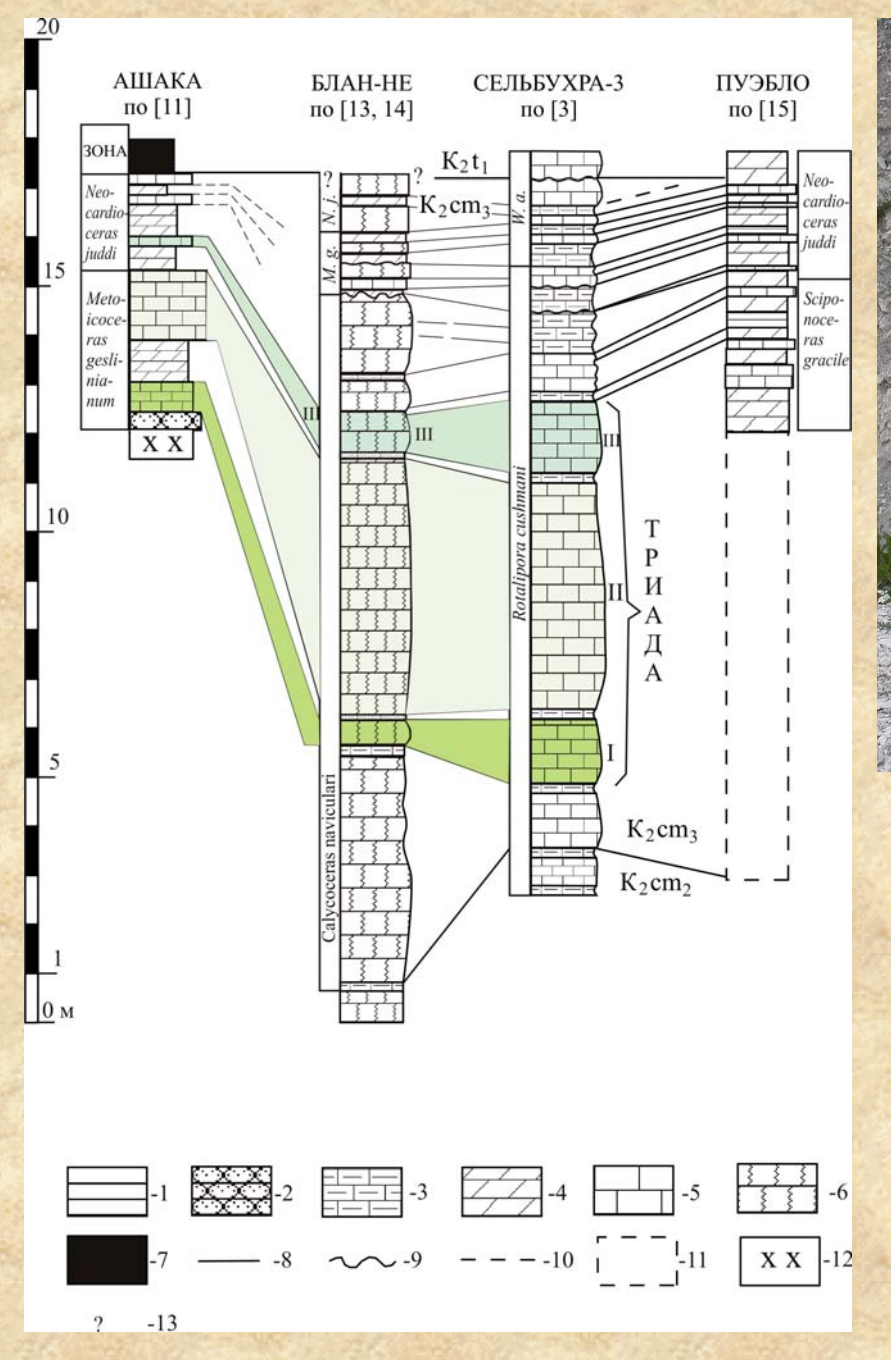
Эволюция продолжительности циклов прецессии и наклонения эклиптики в фанерозое (Berger, 1989). Прим.: Ма – миллионов лет назад

	Ma	Циклы прецессии (лет)		Циклы эклиптики (лет)	
Современность	0	19000	23000	41600	54000
Поздний мел	72	18641	22474	39328	51100
Ранняя пермь	270	17545	20868	34227	42250
Поздний карбон	298	17272	20468	32954	40403
Средний девон	380	16562	19428	29649	34309
Ранний силур	440	16014	18625	27097	29884

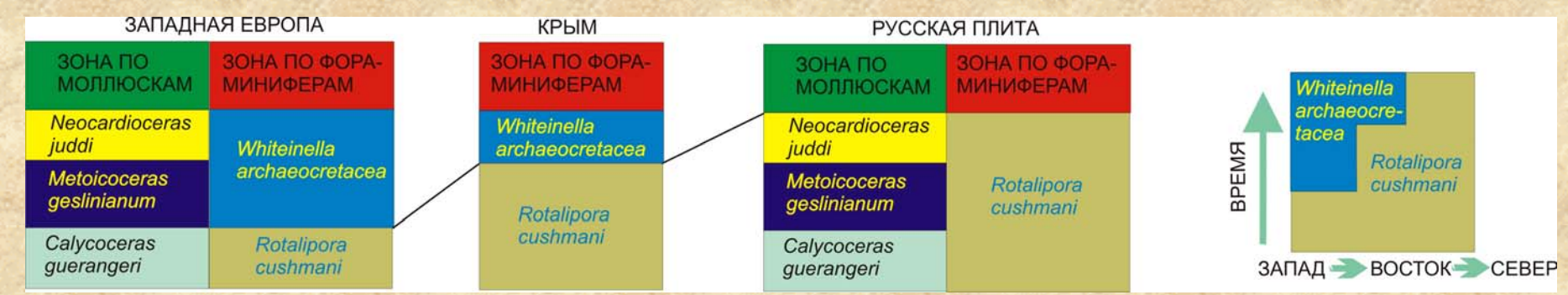


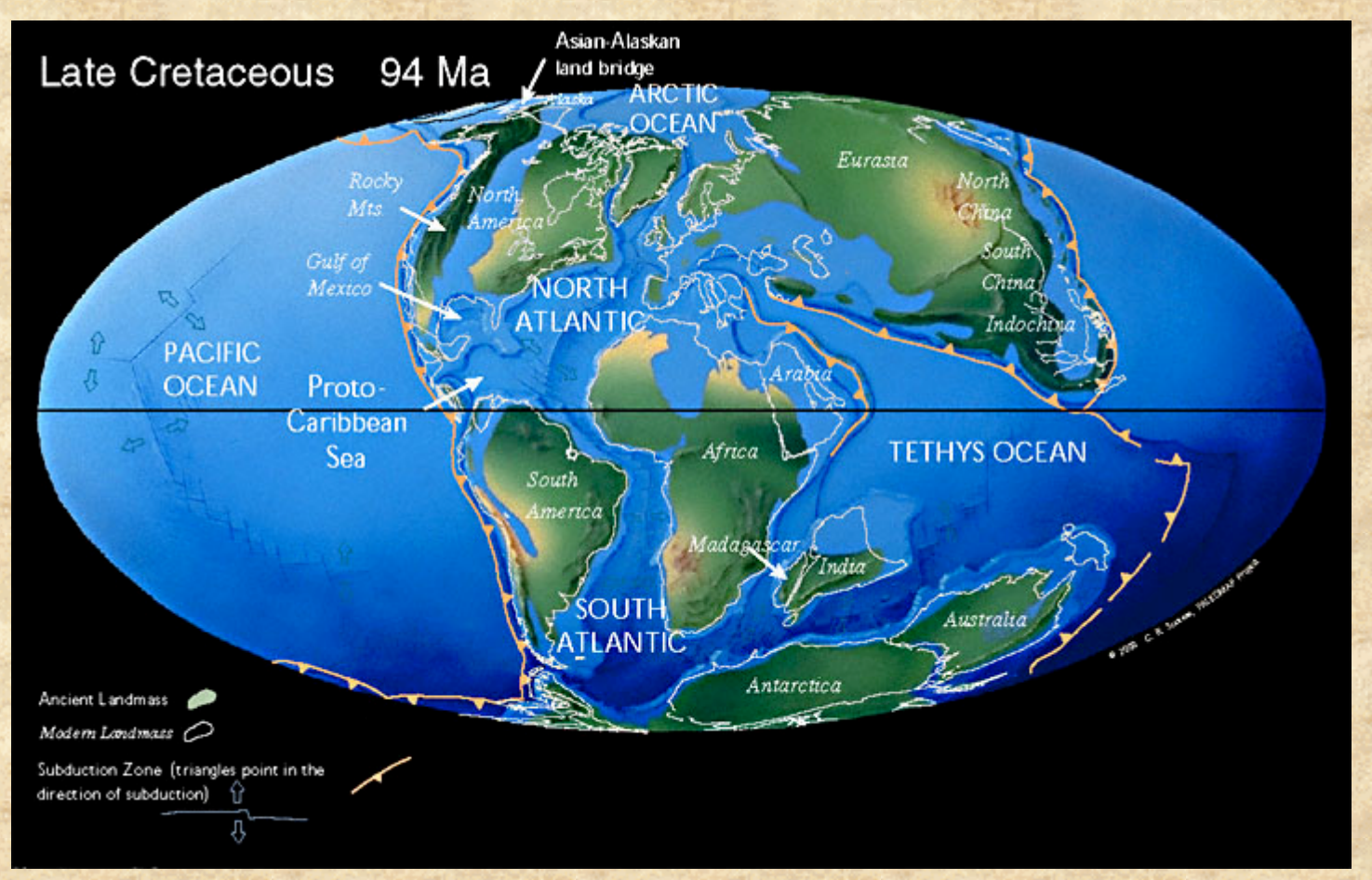






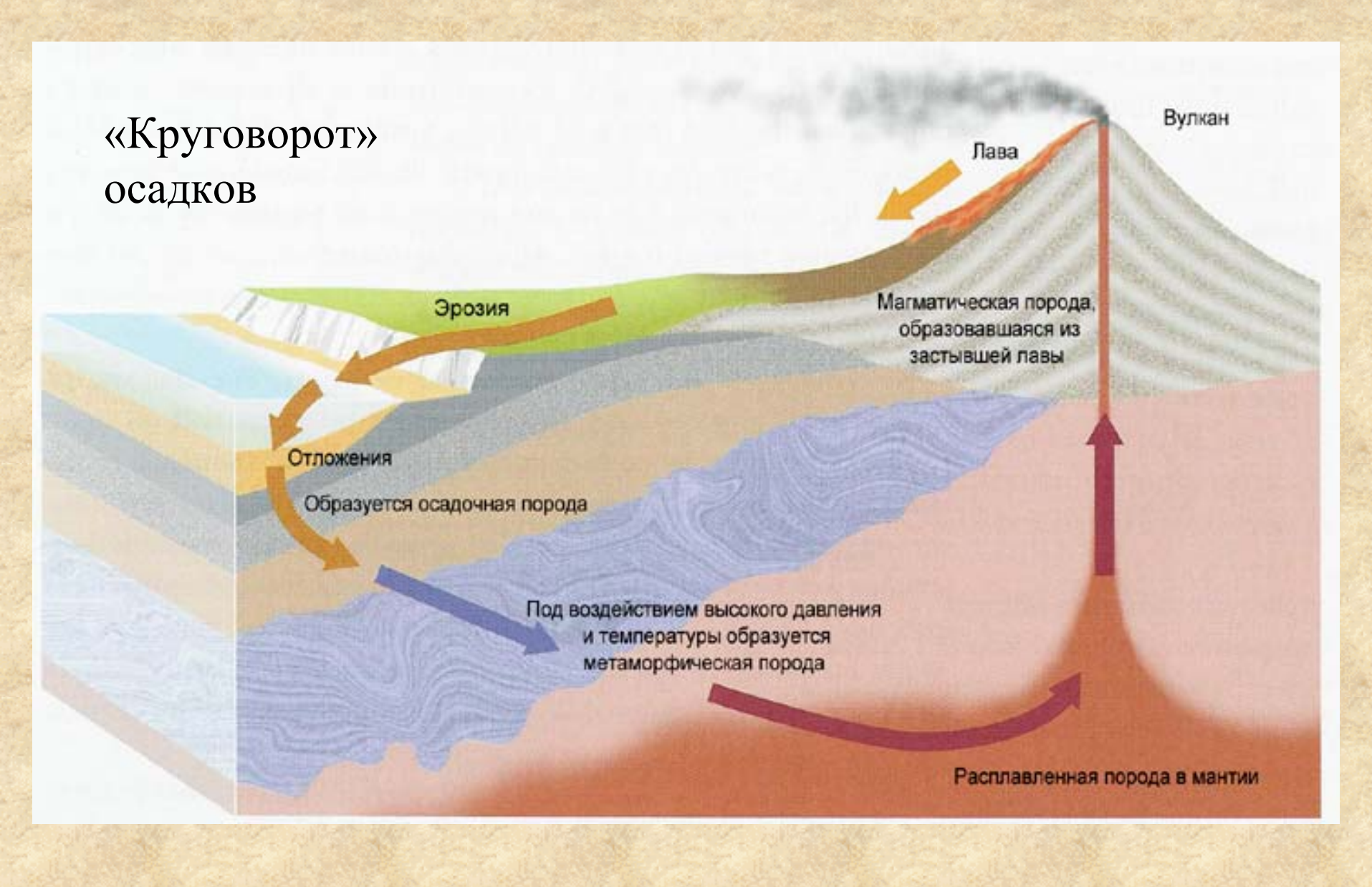




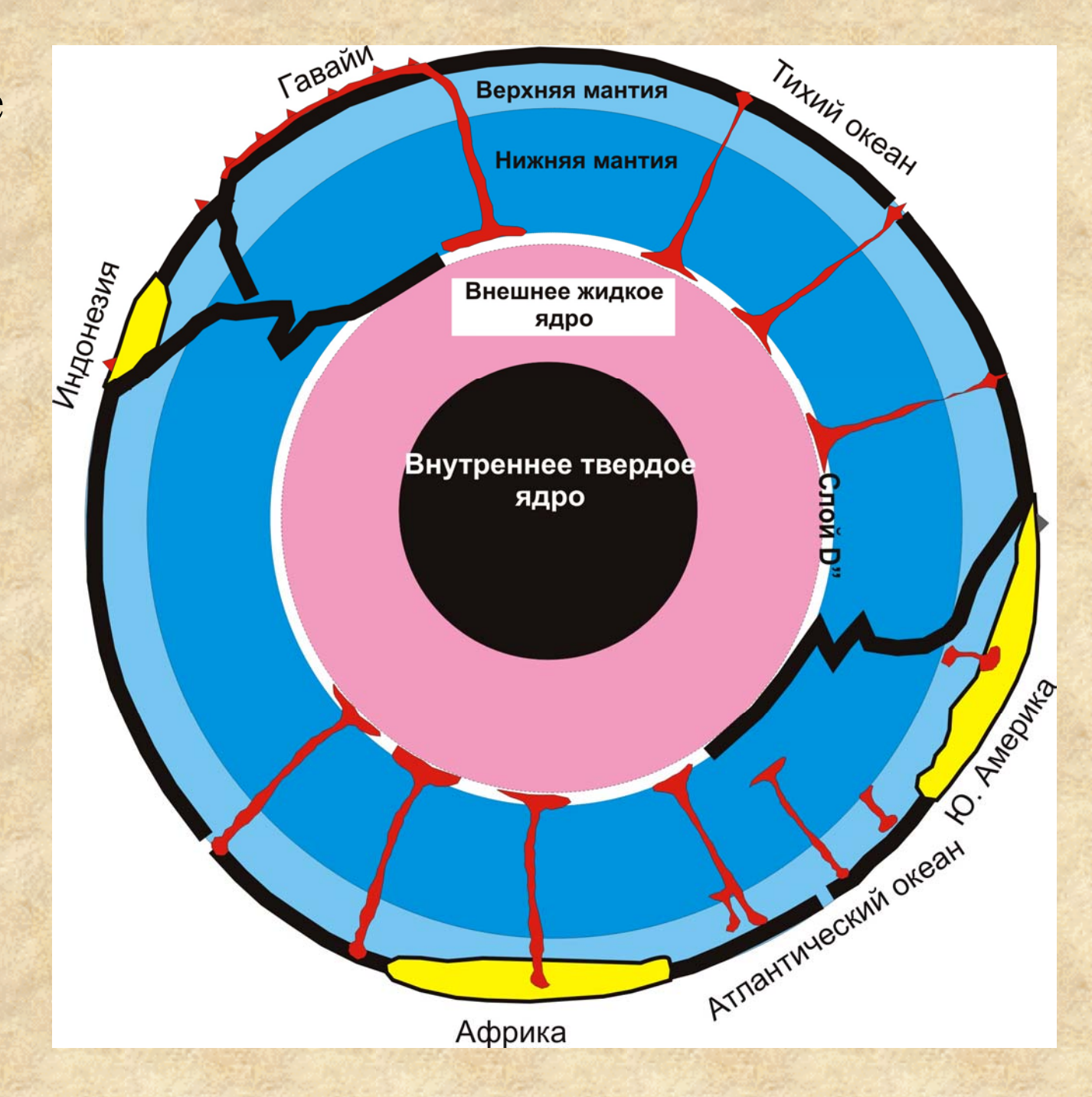


Цикличность изменения климата влечет цикличность в изменении рельефа, солености водоемов, силы и направлений ветров и течений, состава флоры и фауны

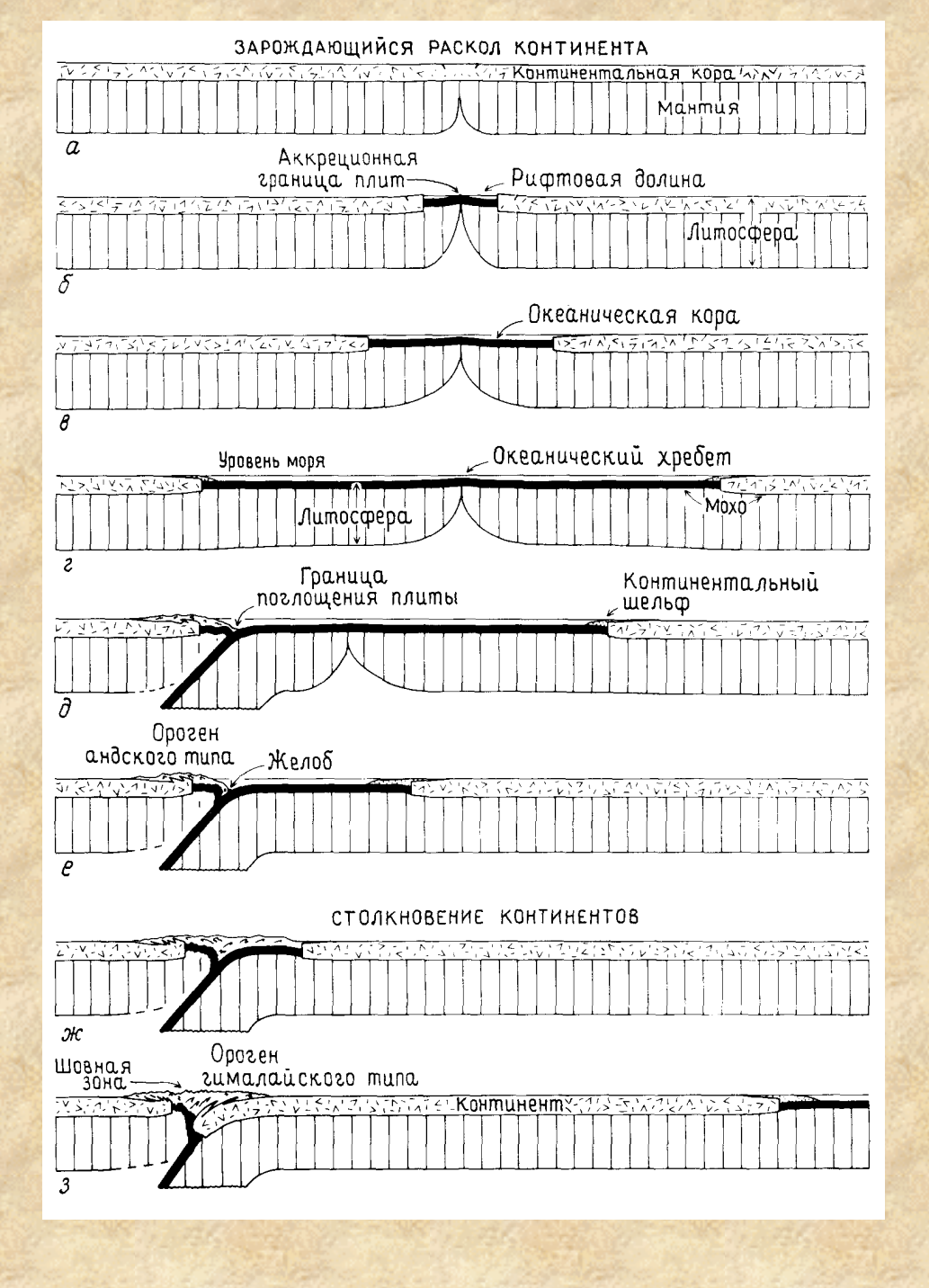




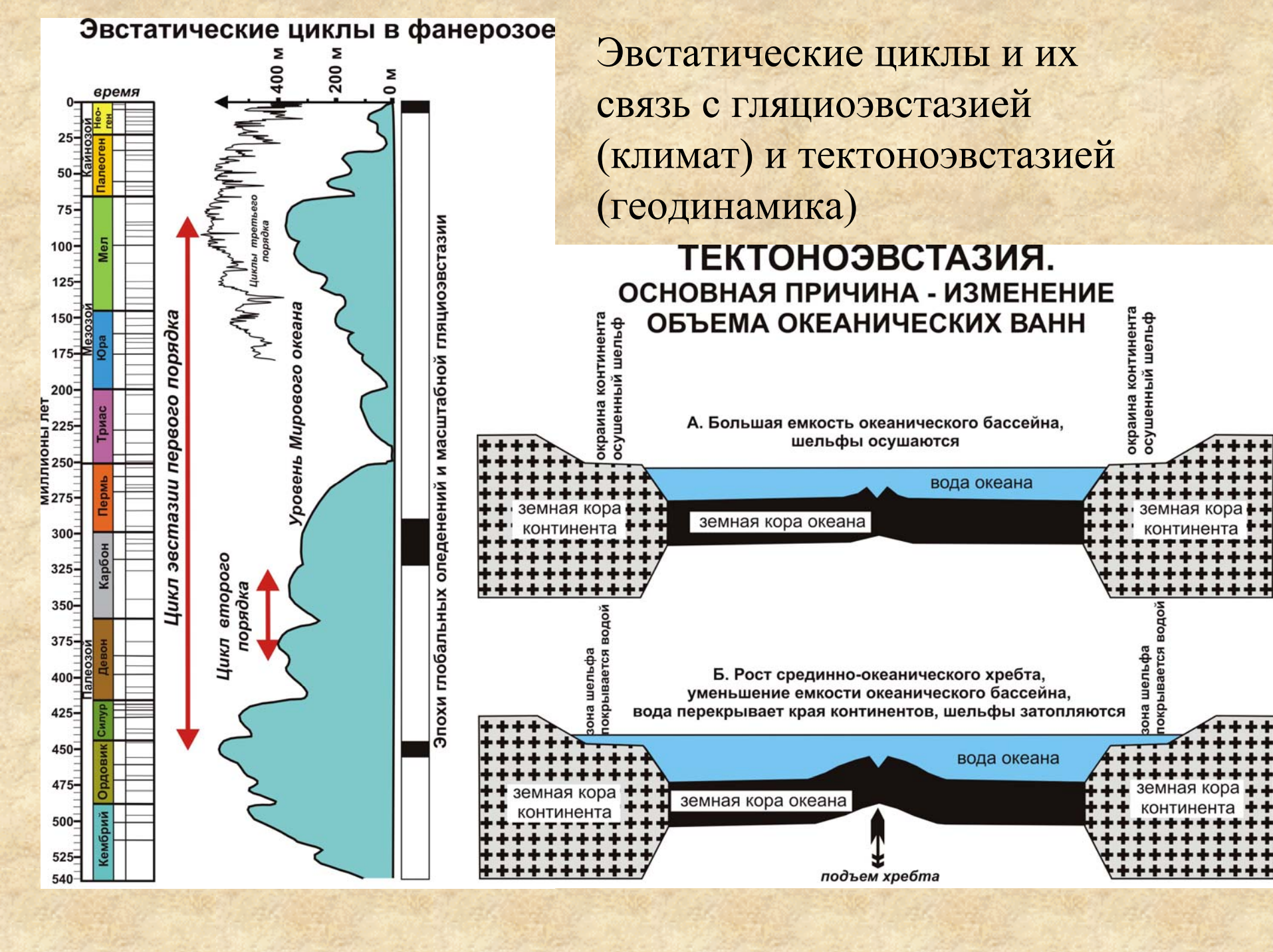
# **Тектонические** циклы

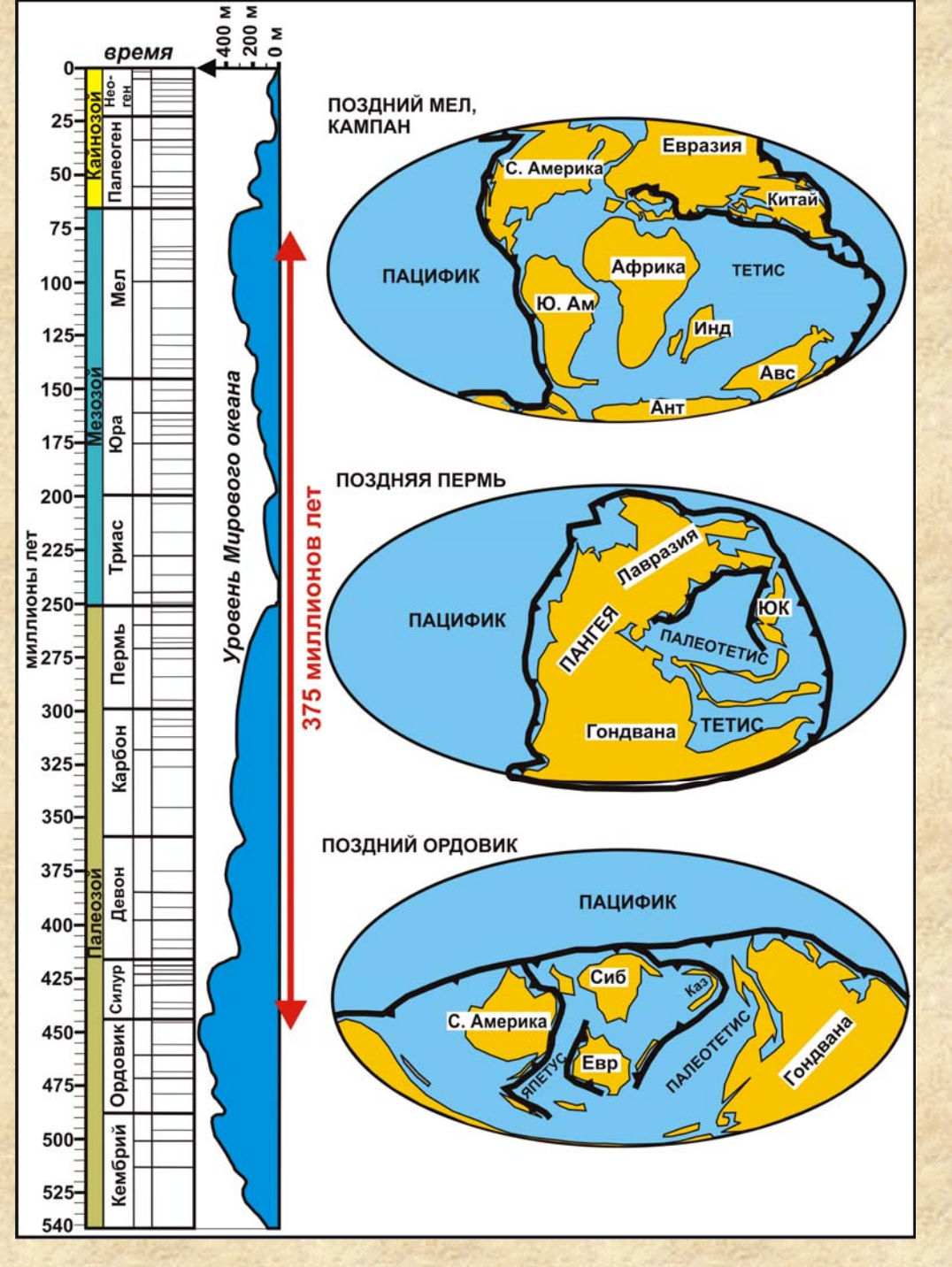


# Тектонические циклы (Уилсона)

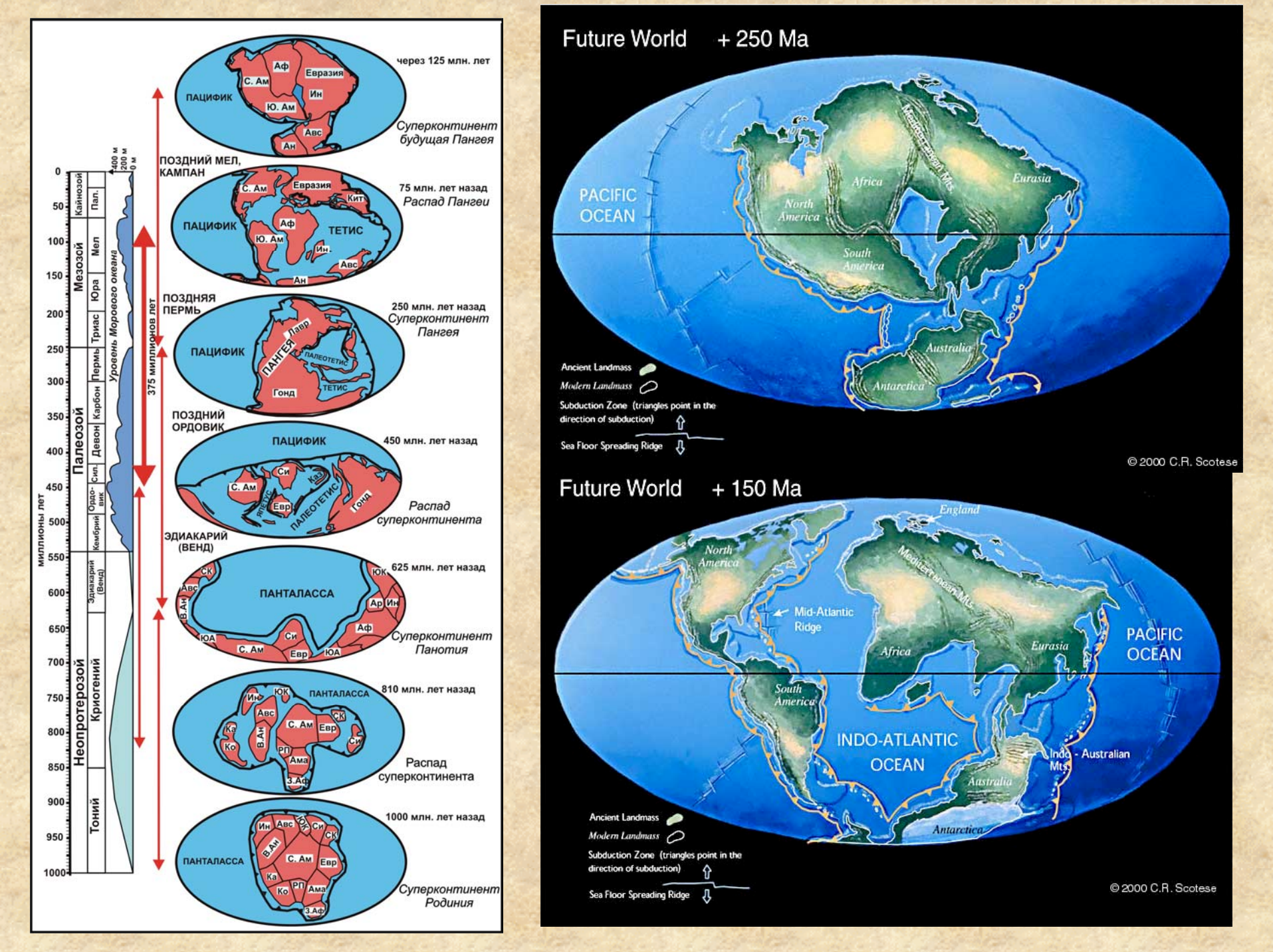


# Внемасштабная модель геодинамики Земли "push" континентальная литосфера океаническая литосфера "горячая" астеносфера 410 км верхняя мантия 650 км "Ind" плюм плюм нижняя мантия D" внешнее жидкое ядро

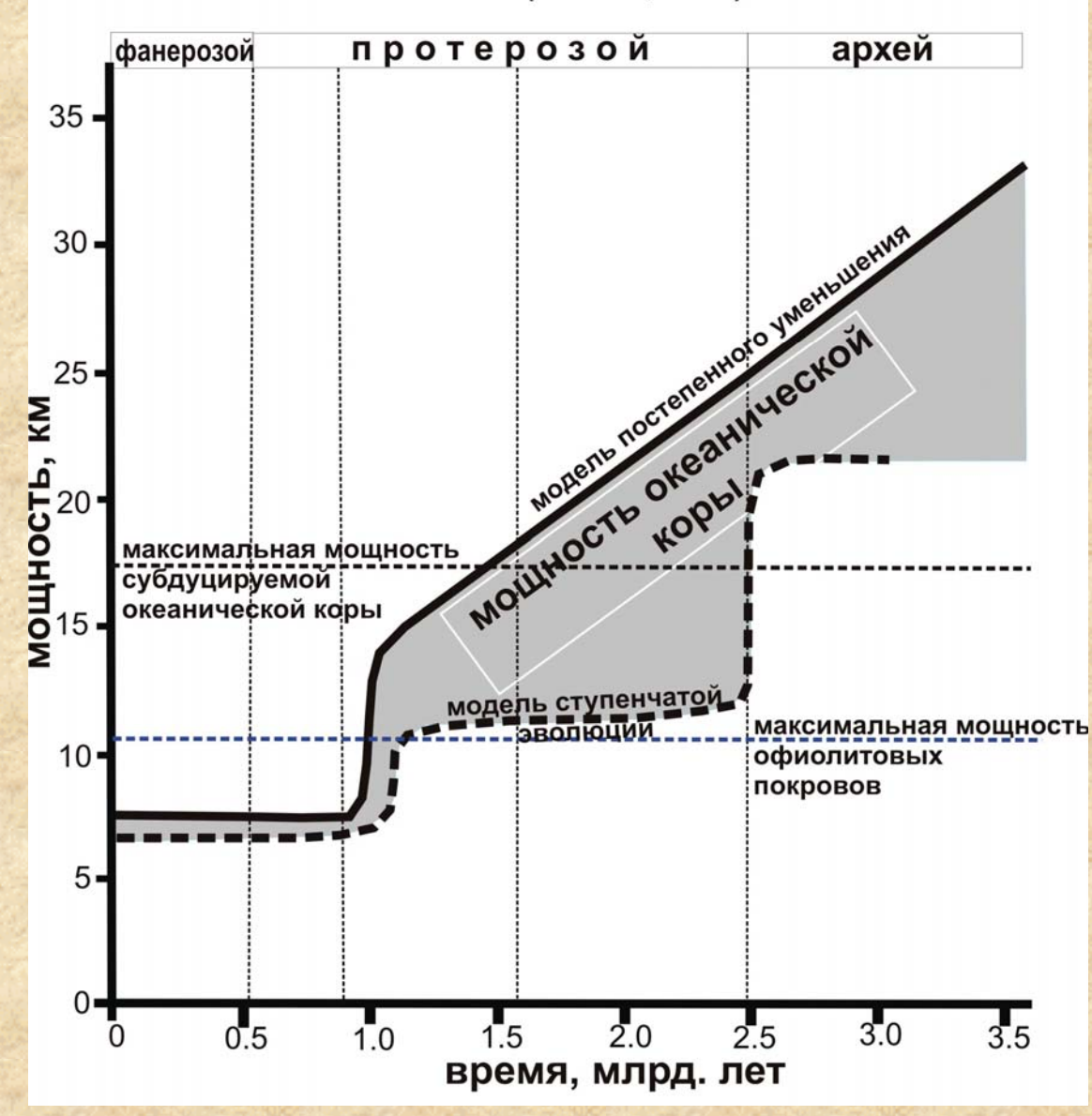




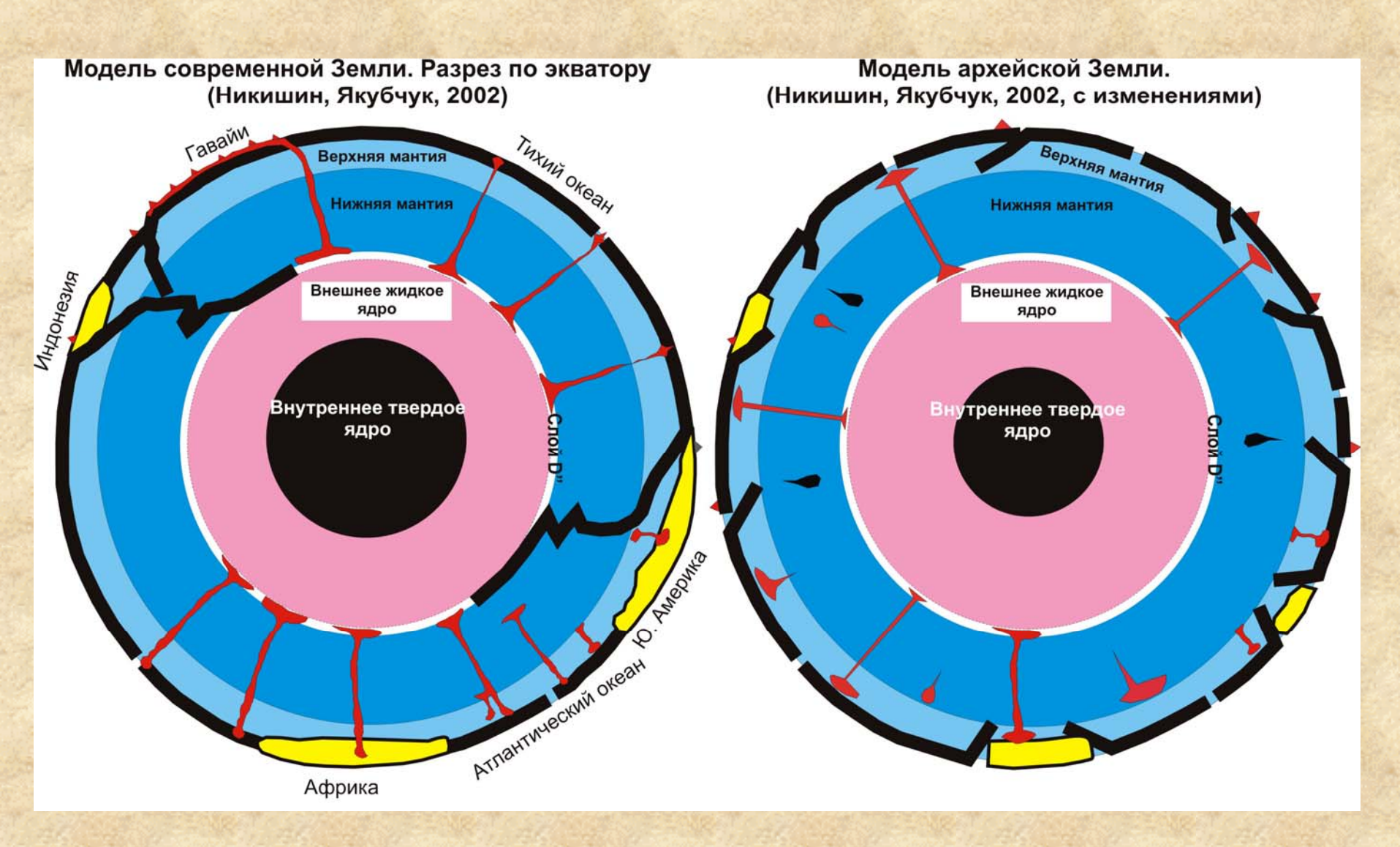
Цикличность в возникновении и распаде суперконтинентов в истории Земли



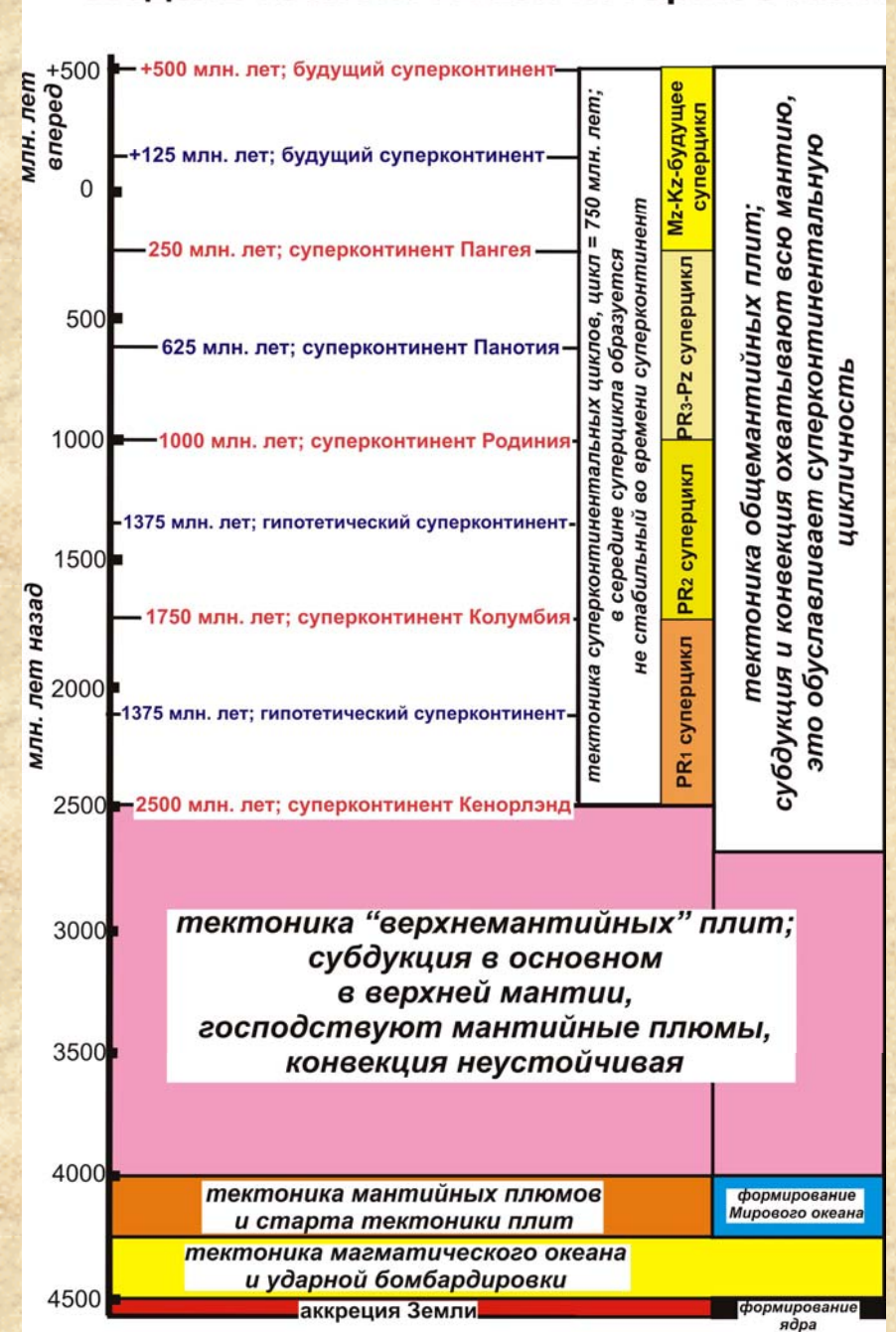
# Гипотетическая модель эволюции мощности океанической коры в геологической истории Земли (Moores, 2002)



и необратимость уменьшения мощности океанической коры



#### Модель геологической истории Земли



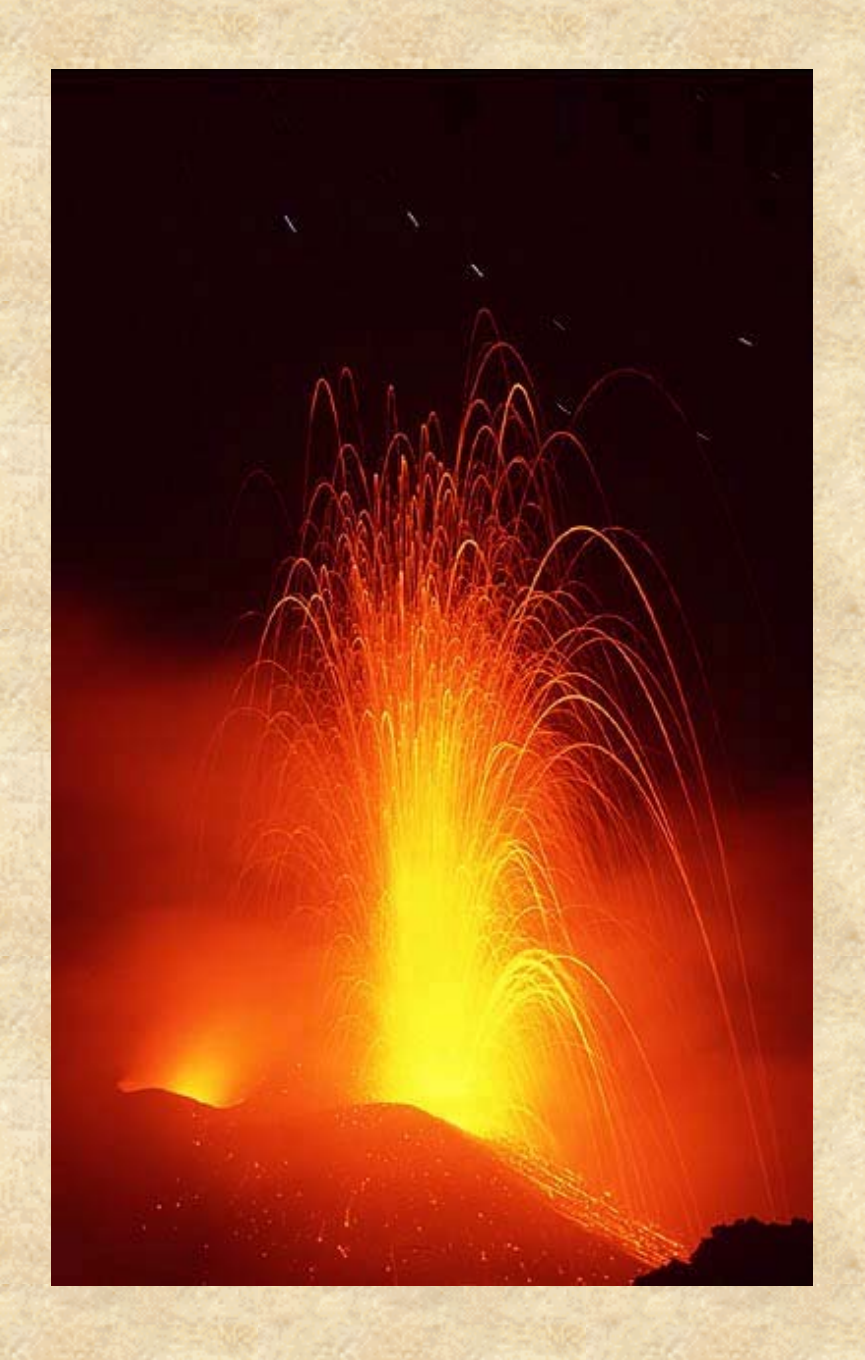
Цикличность и необратимость в модели развития Земли

#### Время, млн Пери-Магни-Век лет назад Сантон СЗ4п Суперхрон ('Меловая зона покоя') Турон-ский 90 -92 -Сеноман-94 -100brief subchrons? 102-Альбский 104brief sub-chrons? 106-108-Меловой 110-112-114-118-120-122-124-128-130-132-Валан-134-136-M15 138-140-142-M18 148-150-M23 152-

## Цикличность инверсий магнитного поля Земли

Цикличность магматизма и рудообразования



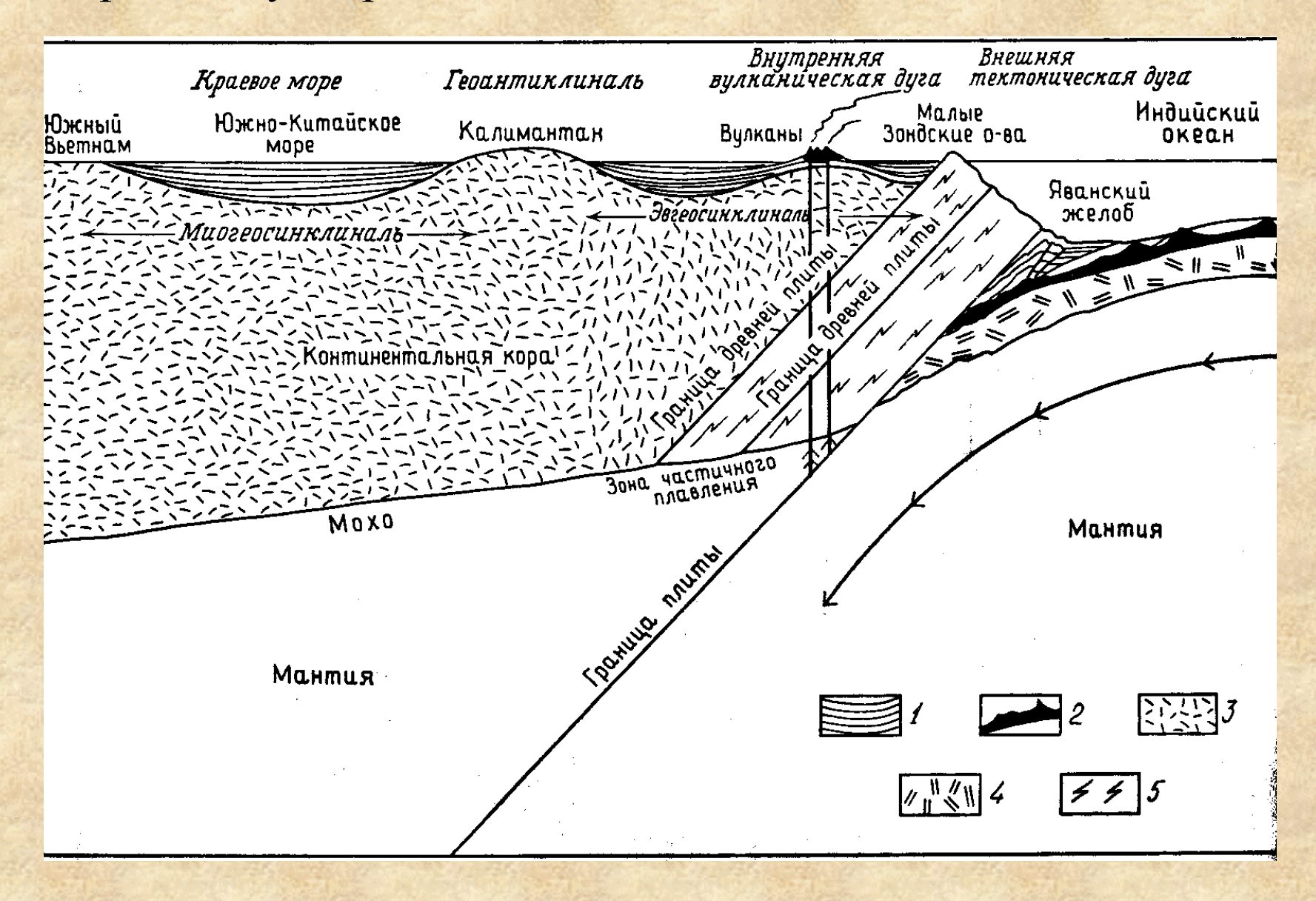






И их катастрофичность. Вулканы Кракатау и Анак-Кракатау. В 1883 г в Индонезии произошел взрыв вулкана, повлекший за собой 40-ка метровые волны цунами, обошедшие 4 раза вокруг Земли, что привело к гибели более 36000 чел.

# Сильнейшее 9-ти бальное землетрясение 26.12.2004 рядом с островом Суматра и Яванским желобом







после

ДО

Привело к образованию волны цунами высотой 10 м и скоростью 800 км/ч, гибели 105.162 и пропажи без вести 127.774 чел (данные Associated Press на 31.01.2005).



Серия последних снимков приходящей волны цунами, сделанная погибшими туристами

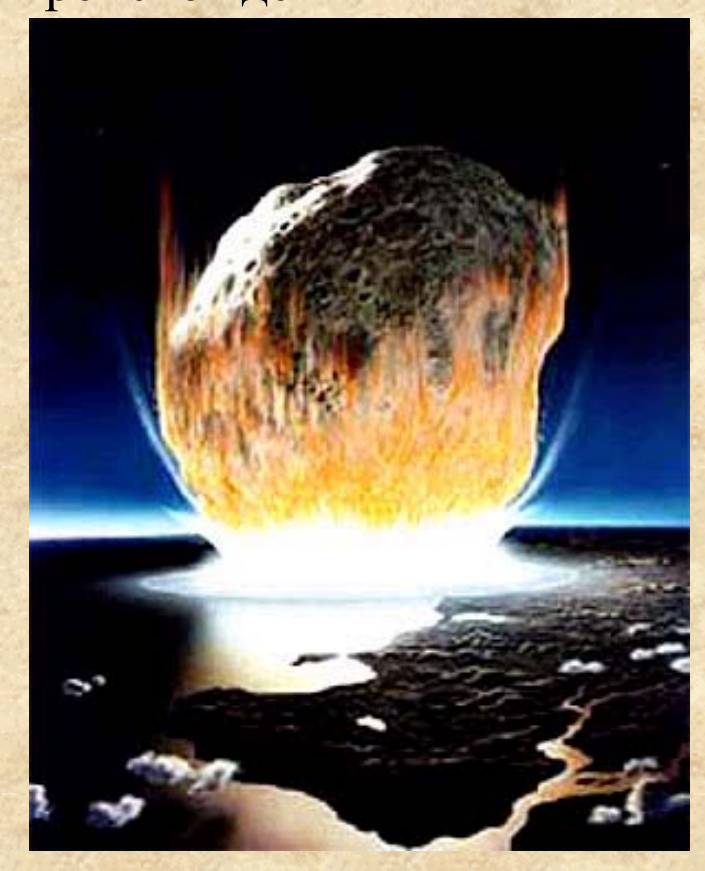








Цикличность падения на Землю космических тел естественного происхождения

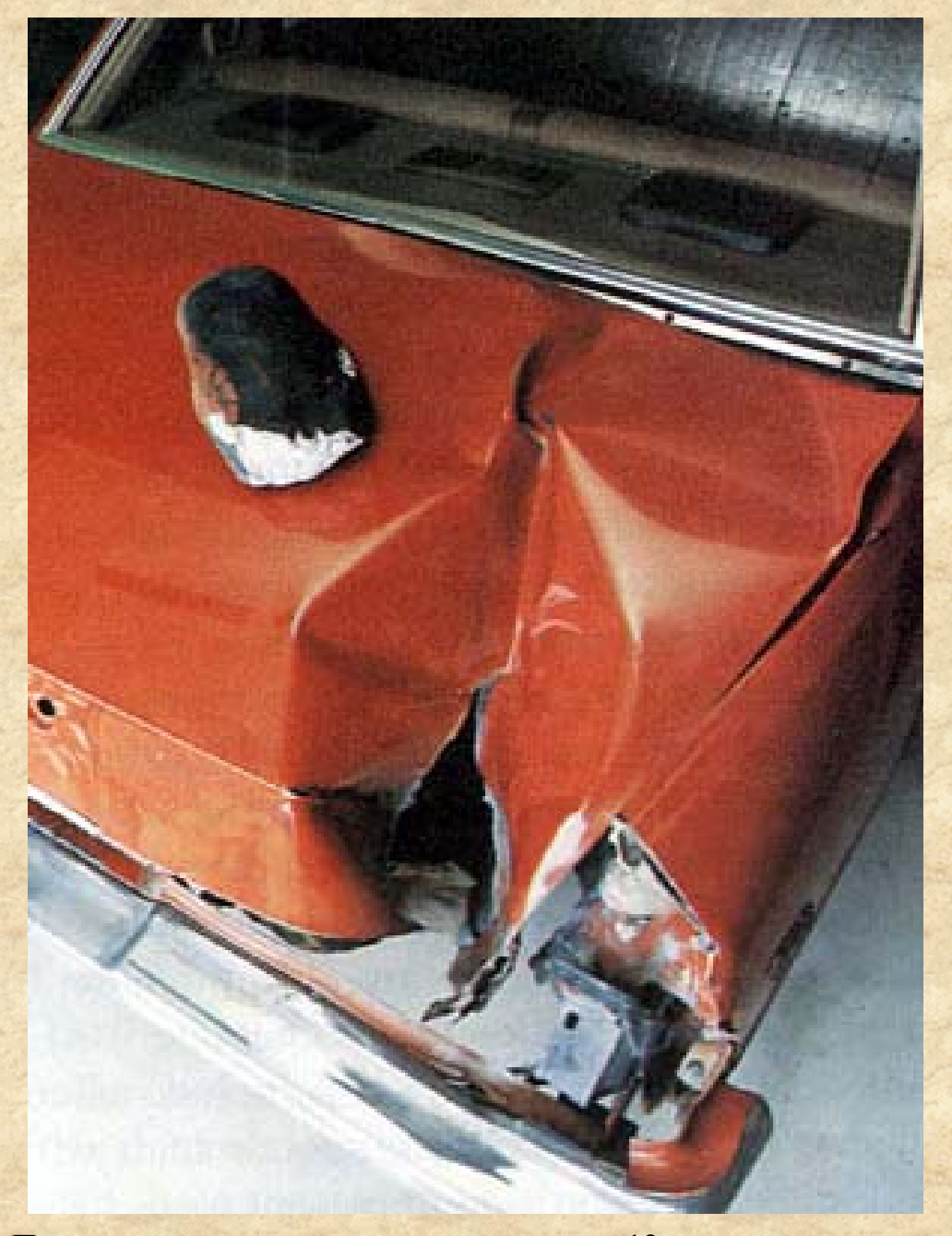




Аэрофотоснимок метеоритного кратера Каньон-Дьябло (штат Аризона, США)



Последствия Тунгусского взрыва: выжженный и поваленный лес тайги. Фотография начала XX века



Последствие попадания метеорита весом 12 кг в заднюю часть легковой машины «Шевроле». Фотография 60-х годов XX века

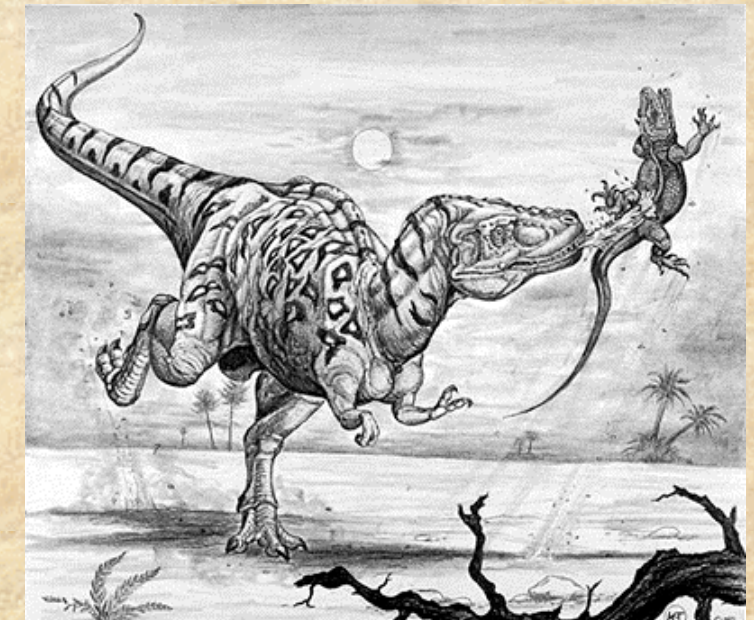




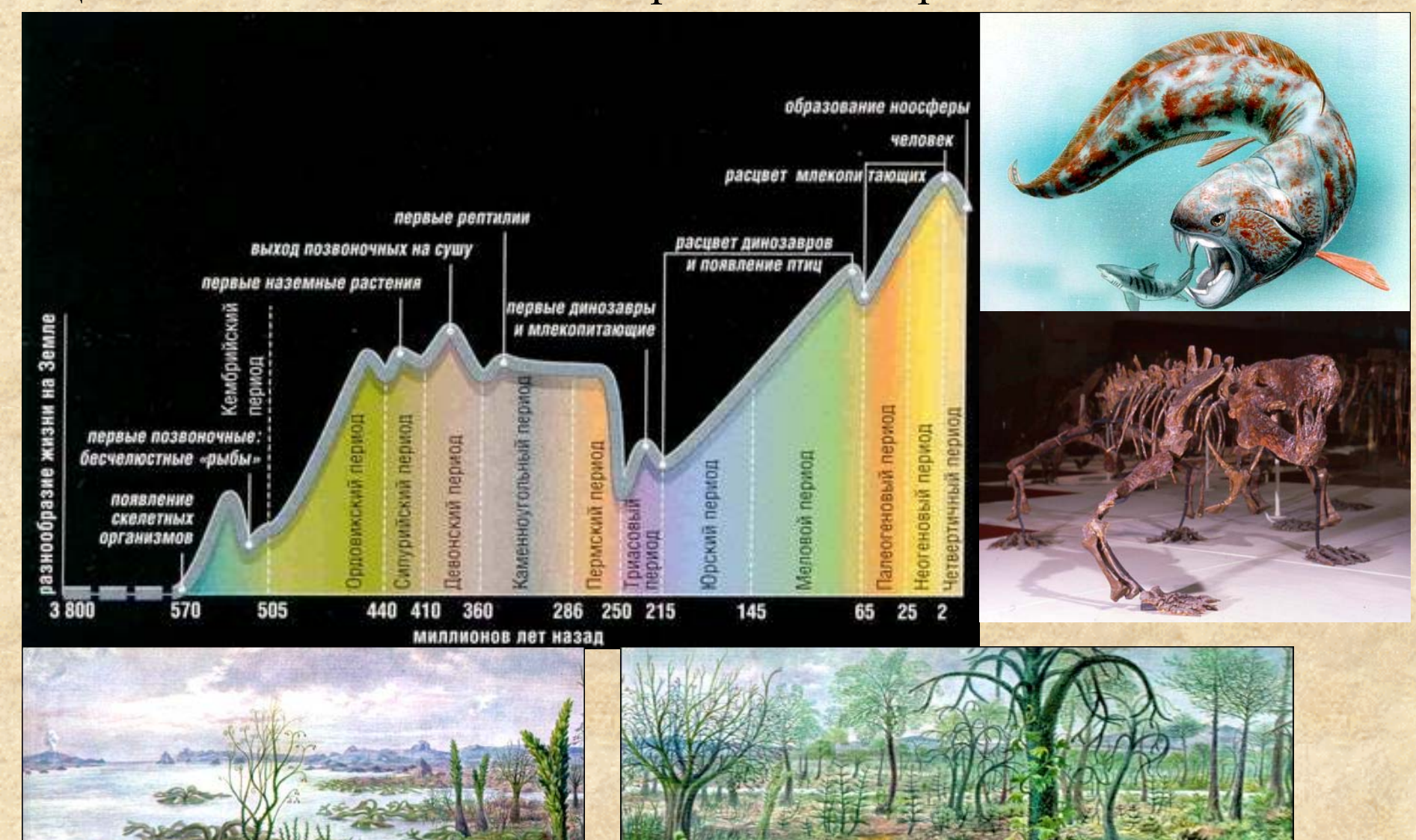
Иридиевая аномалия – горизонт (показан стрелкой) на границе меловых и палеогеновых отложений в штате Колорадо (США) считается ре-

зультатом падения метеорита на полуострове Юкатан

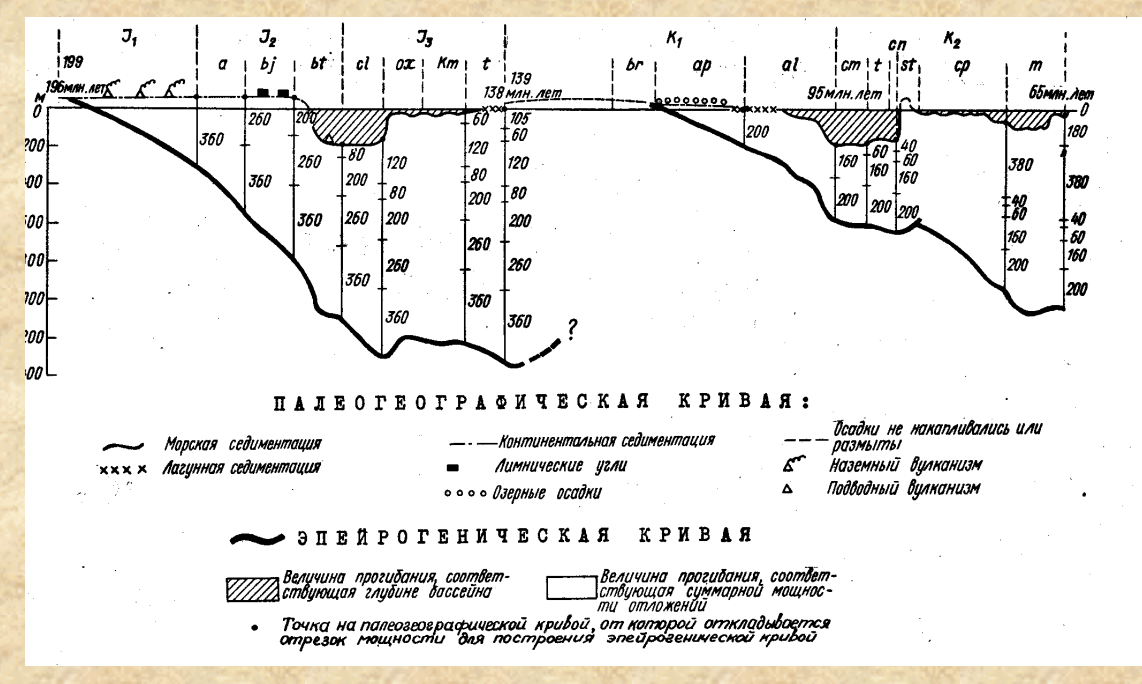




## Цикличность массовых вымираний и необратимость эволюции

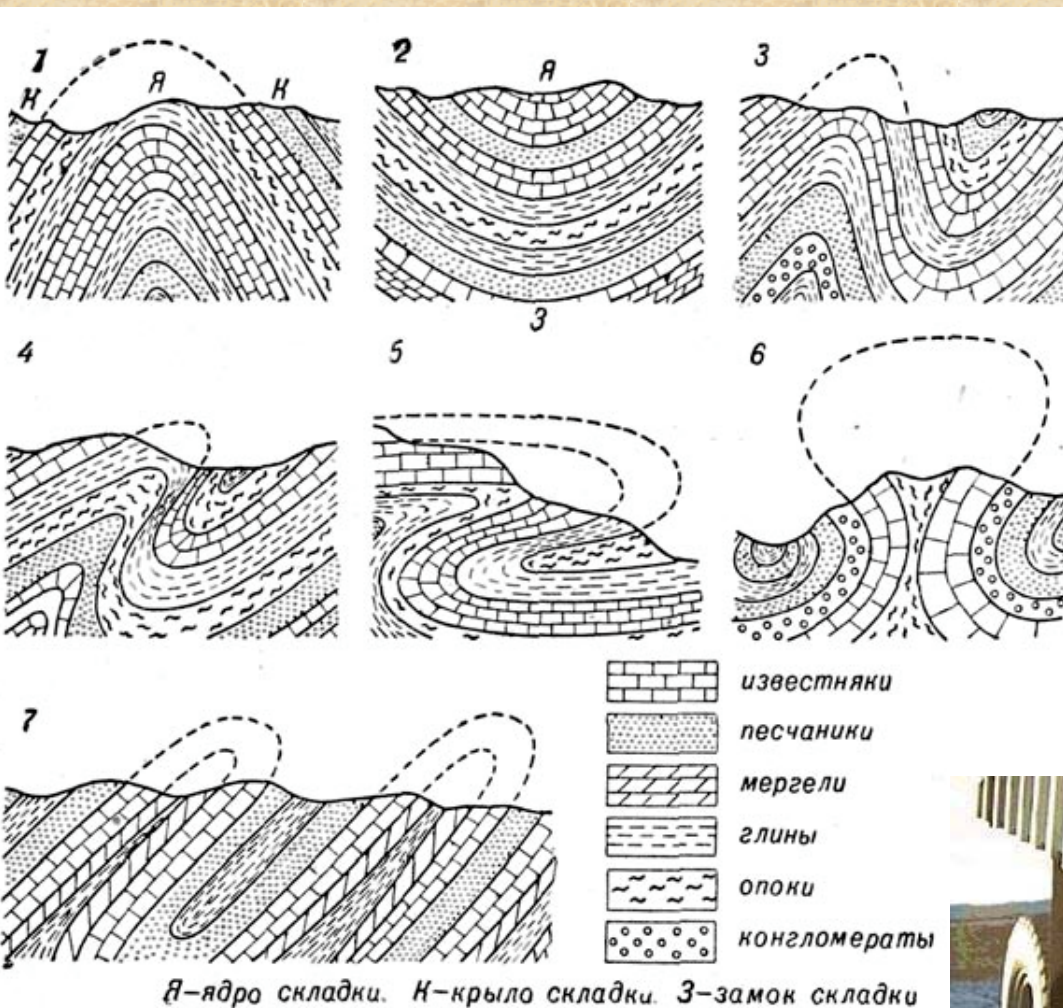


## Обратимость (цикличность) эпейрогенических движений



Южноамериканские Анды сформировались в результате эпейрогенических движений





Необратимость циклично происходящих орогенических движений



Табл. 4. Фазы складчатости конца докембрия и фанерозоя.

T	<b>.</b>	D	
Тектоно-	Фаза складчатости	Время	
магматический			
этап			
альпийский	незавершенная	The state of the s	
	завершенная	граница Рg и N	
мезозойский	ларамийская	граница K и Pg	
		(MZ и KZ)	
A COLUMN	верхоянская	граница К <sub>1</sub> и К <sub>2</sub>	
Test of	невадийская	граница Ј и К	
	индосинийская	граница Т и Ј	
герцинский	позднегерцинская	граница Р и Т (PZ	
		и МZ)	
	судетская	граница С2 и С3	
каледонский	акадская	граница D <sub>2</sub> и D <sub>3</sub>	
	позднекаледонская	граница О и S	
	таконская	граница Є и О	
	салаирская	граница $\mathfrak{C}_2$ и $\mathfrak{C}_3$	
	байкальская	граница R и V	

# Сопоставимость геологических и антропогенных процессов











Сопоставимость геологических и антропогенных процессов



Сопоставимость геологических и антропогенных процессов



## «Кажущаяся необратимость» - цикличность в развитии Звезды

